

LE LAPLACIEN MASSIQUE Z -INVARIANT SUR LES GRAPHES ISORADIAUX

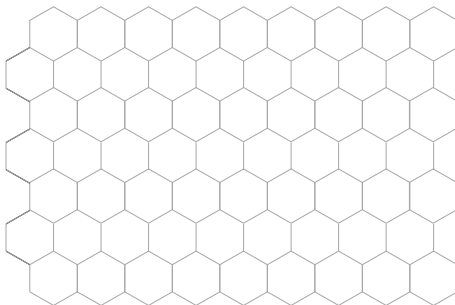
Béatrice de Tilière
Université Pierre et Marie Curie

en collaboration avec C. Boutillier, K. Raschel

Séminaire de Probabilités - Statistiques, Université Paris 13
11 mars 2015

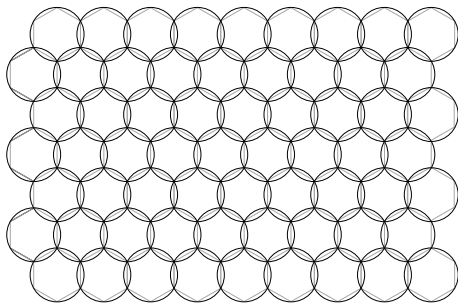
GRAPHES ISORADIAUX

- ▶ Un graphe G est **isoradial** s'il est planaire et s'il peut être plongé dans le plan de sorte que toutes ses faces soient inscrites dans un cercle de rayon 1 et que les centres des cercles soient à l'intérieur des faces (Duffin-Mercat-Kenyon).



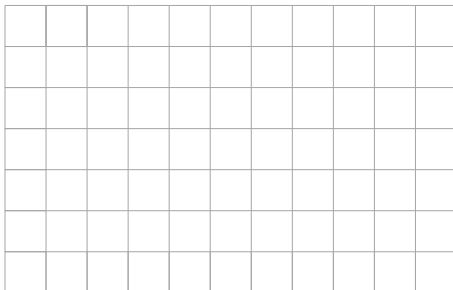
GRAPHES ISORADIAUX

- ▶ Un graphe G est **isoradial** s'il est planaire et s'il peut être plongé dans le plan de sorte que toutes ses faces soient inscrites dans un cercle de rayon 1 et que les centres des cercles soient à l'intérieur des faces (Duffin-Mercat-Kenyon).



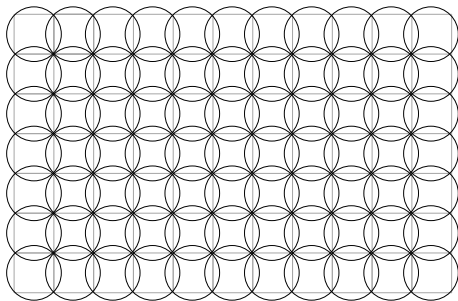
GRAPHES ISORADIAUX

- ▶ Un graphe G est **isoradial** s'il est planaire et s'il peut être plongé dans le plan de sorte que toutes ses faces soient inscrites dans un cercle de rayon 1 et que les centres des cercles soient à l'intérieur des faces (Duffin-Mercat-Kenyon).



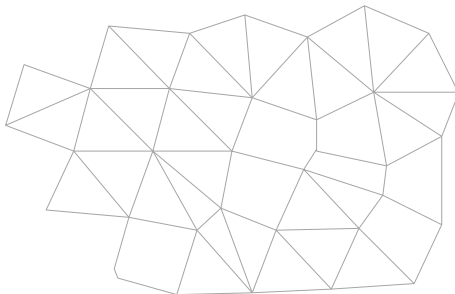
GRAPHES ISORADIAUX

- ▶ Un graphe G est **isoradial** s'il est planaire et s'il peut être plongé dans le plan de sorte que toutes ses faces soient inscrites dans un cercle de rayon 1 et que les centres des cercles soient à l'intérieur des faces (Duffin-Mercat-Kenyon).



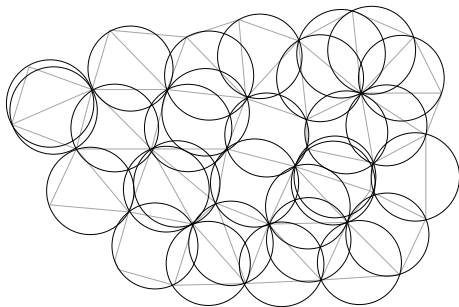
GRAPHES ISORADIAUX

- ▶ Un graphe G est **isoradial** s'il est planaire et s'il peut être plongé dans le plan de sorte que toutes ses faces soient inscrites dans un cercle de rayon 1 et que les centres des cercles soient à l'intérieur des faces (Duffin-Mercat-Kenyon).



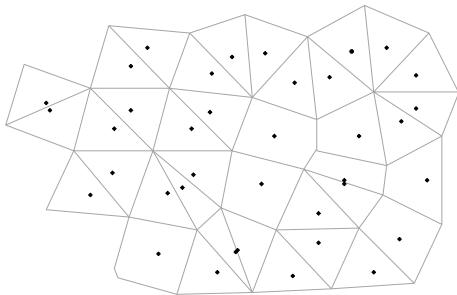
GRAPHES ISORADIAUX

- ▶ Un graphe G est **isoradial** s'il est planaire et s'il peut être plongé dans le plan de sorte que toutes ses faces soient inscrites dans un cercle de rayon 1 et que les centres des cercles soient à l'intérieur des faces (Duffin-Mercat-Kenyon).



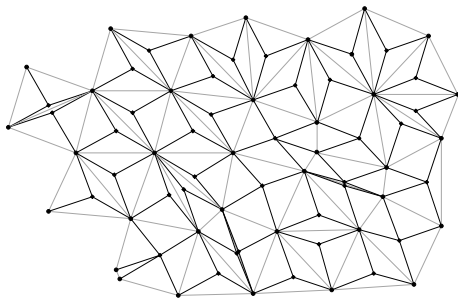
GRAPHE DE LOSANGES ASSOCIÉ, ANGLES

- ▶ On prend les centres des cercles circonscrits.



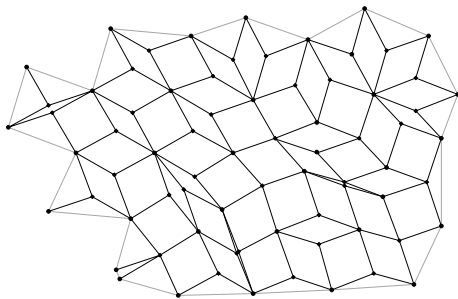
GRAPHE DE LOSANGES ASSOCIÉ, ANGLES

- ▶ On relie les centres des cercles aux sommets du graphe G .
⇒ Graphe de losanges associé G^\diamond .



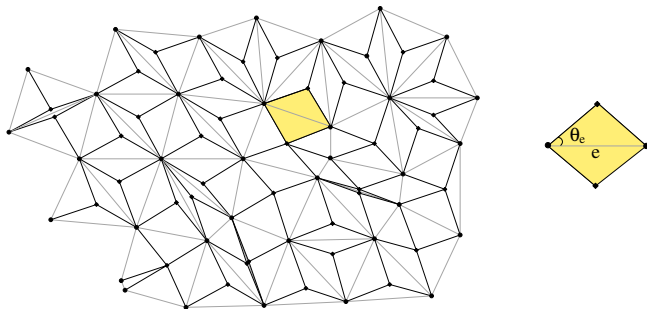
GRAPHE DE LOSANGES ASSOCIÉ, ANGLES

- ▶ On relie les centres des cercles aux sommets du graphe G .
⇒ Graphe de losanges associé G^\diamond .



GRAPHE DE LOSANGES ASSOCIÉ, ANGLES

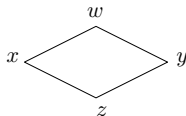
- ▶ On associe à chaque arête e , le demi-angle θ_e du losange correspondant.



ANALYSE COMPLEXE DISCRÈTE

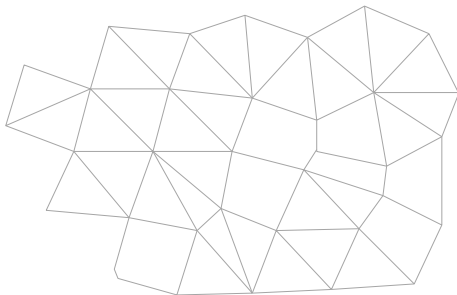
- ▶ Soit f une fonction définie sur les sommets de G et G^* .
- ▶ Elle est *holomorphe discrète* si, pour tout losange $xwyz$,

$$\frac{f(y) - f(x)}{y - x} = \frac{f(w) - f(z)}{w - z}.$$



MÉCANIQUE STATISTIQUE SUR LES GRAPHE ISORADIAUX

- ▶ Graphe isoradial $G = (V, E)$, fini.



- ▶ Ensemble de configurations sur G : $\mathcal{C}(G)$.

MÉCANIQUE STATISTIQUE SUR LES GRAPHES ISORADIAUX

- ▶ Paramètres :

Fonction de poids w positive sur les arêtes / les sommets

w dépend des angles $(\theta_e)_{e \in E}$

- ▶ À une configuration C , on associe une énergie $\mathcal{E}_w(C)$.

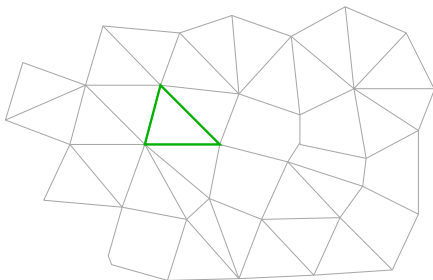
- ▶ Probabilité de Boltzmann sur les configurations :

$$\forall C \in \mathcal{C}(G), \quad \mathbb{P}(C) = \frac{e^{-\mathcal{E}_w(C)}}{Z(G, w)},$$

où $Z(G, w) = \sum_{C \in \mathcal{C}(G)} e^{-\mathcal{E}_w(C)}$ est la fonction de partition.

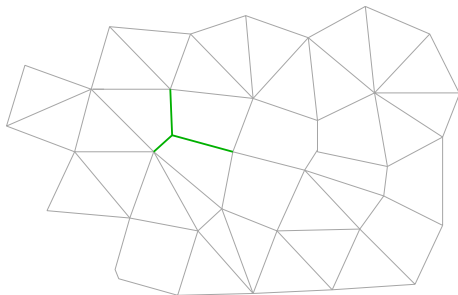
MODÈLE Z-INVARIANT (BAXTER)

- ▶ Transformation $\Delta - Y$ préserve l'isoradialité.



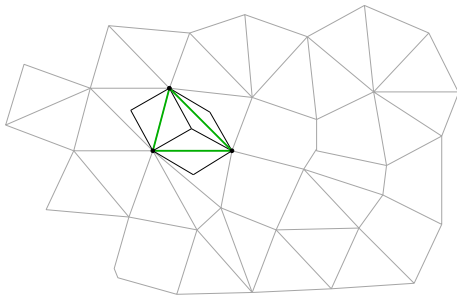
MODÈLE Z-INVARIANT (BAXTER)

- ▶ Transformation $\Delta - Y$ préserve l'isoradialité.



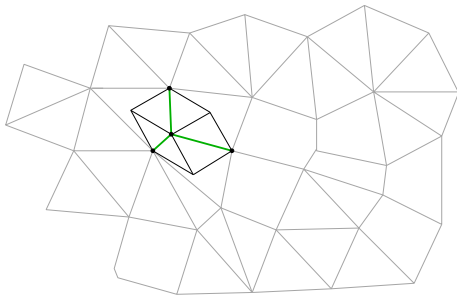
MODÈLE Z-INVARIANT (BAXTER)

- ▶ Transformation $\Delta - Y$ préserve l'isoradialité.

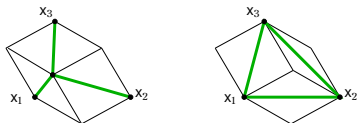


MODÈLE Z-INVARIANT (BAXTER)

- ▶ Transformation $\Delta - Y$ préserve l'isoradialité.



MODÈLE Z-INVARIANT



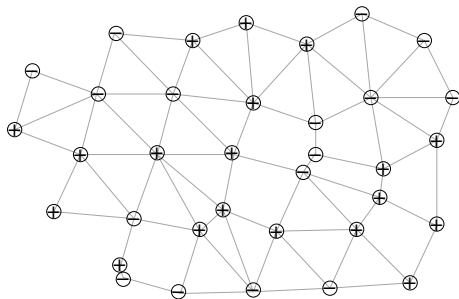
- ▶ Décomposition de la fonction de partition sur les configurations possibles en x_1, x_2, x_3 .
- ▶ Le modèle est **Z-invariant** (Baxter) s'il existe une constante \mathcal{C} , telle que pour toute configuration au bord $\mathcal{C}(x_1, x_2, x_3)$:

$$Z(\mathbf{G}_Y, w, \mathcal{C}(x_1, x_2, x_3)) = \mathcal{C} Z(\mathbf{G}_\Delta, w, \mathcal{C}(x_1, x_2, x_3)).$$

- ▶ Conséquences :
 - ⇒ Probabilités non-affectées par les transformations locales du graphe
 - ⇒ Expression pour les probabilités qui ne dépend que de la géométrie locale du graphe.

MODÈLE D'ISING Z-INVARIANT

- ▶ Graphe isoradial fini G .



- ▶ Une **configuration de spins** σ associe à chaque sommet x du graphe G un spin $\sigma_x \in \{-1, 1\}$.
 $\Rightarrow \mathcal{C}(G) = \{-1, 1\}^V =$ ensemble des configurations de spins.

MODÈLE D'ISING Z -INVARIANT

- ▶ Constantes de couplage $J = (J(\theta_e))_{e \in E}$.
- ▶ Énergie d'une configuration de spins : $\mathcal{E}_J(\sigma) = - \sum_{e=xy \in E} J(\theta_e) \sigma_x \sigma_y$.
- ▶ Probabilité de Boltzmann d'Ising :

$$\forall \sigma \in \{-1, 1\}^V, \quad \mathbb{P}_{\text{Ising}}(\sigma) = \frac{e^{-\mathcal{E}_J(\sigma)}}{Z_{\text{Ising}}(\mathbf{G}, J)},$$

où $Z_{\text{Ising}}(\mathbf{G}, J) = \sum_{\sigma \in \{-1, 1\}^V} e^{-\mathcal{E}_J(\sigma)}$ est la **fonction de partition**.

MODÈLE D'ISING Z-INVARIANT SUR LES GRAPHES ISORADIAUX

- ▶ Baxter : Le modèle d'Ising est Z-invariant si

$$\forall e \in E, J(\theta_e) = \frac{1}{2} \log \left(\frac{1 + \operatorname{sn}\left(\frac{2K}{\pi}\theta_e|k\right)}{\operatorname{cn}\left(\frac{2K}{\pi}\theta_e|k\right)} \right), \quad k \in [0, 1).$$

- ▶ $K = \int_0^{\frac{\pi}{2}} \frac{1}{\sqrt{1-k^2 \sin^2 \tau}} d\tau$: intégrale elliptique complète de 1^{ère} espèce.
- ▶ $\operatorname{sn}, \operatorname{cn}$: fonctions elliptiques de Jacobi.
- ▶ Si $k = 0$: $\forall e \in E, J(\theta_e) = \frac{1}{2} \log \left(\frac{1 + \sin \theta_e}{\cos \theta_e} \right)$.
 - ▶ Le modèle est critique (Li / Duminil-Copin - Cimasoni), invariant conforme (Chelkak - Smirnov).
 - ▶ Expression locale pour les probabilités du modèle de dimères correspondant (Boutillier - dT).
- ▶ $k \neq 0$: travaux en cours (Boutillier - dT - Raschel).

LE LAPLACIEN SUR LES GRAPHES PLANAIRES CRITIQUES (KENYON)

- ▶ Graphe isoradial infini G .
- ▶ **Conductances** : $\rho = (\tan(\theta_e))_{e \in E}$.
- ▶ Soit Δ le **Laplacien discret** sur G représenté par la matrice Δ :

$$\forall x, y \in V, \quad \Delta(x, y) = \begin{cases} \rho(\theta_{xy}) & \text{si } x \sim y \\ -\sum_{y \sim x} \rho(\theta_{xy}) & \text{si } x = y \\ 0 & \text{sinon.} \end{cases}$$

- ▶ Le Laplacien Δ est un opérateur de \mathbb{C}^V dans \mathbb{C}^V , tel que :

$$\forall f \in \mathbb{C}^V, \quad (\Delta f)(x) = \sum_{y \in V} \Delta(x, y) f(y) = \sum_{y \sim x} \rho(\theta_{xy}) (f(y) - f(x)).$$

- ▶ La restriction à G d'une fonction holomorphe discrète est harmonique discrète.

LAPLACIEN SUR LES GRAPHES PLANAIRES CRITIQUES (KENYON)

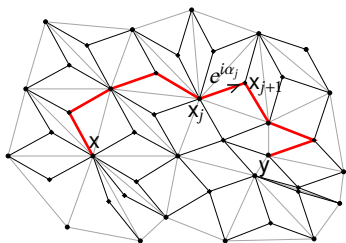
- ▶ La fonction de Green G est l'inverse du Laplacien : $\Delta G = \text{Id}$.
- ▶ Fonction exponentielle discrète (Mercat) :

$\text{Exp} : V^\diamond \times V^\diamond \times \mathbb{C} \rightarrow \mathbb{C}$. Soit $x, y \in V^\diamond$.

Chemin dans $E^\diamond : x = x_1, \dots, x_n = y$,

$$\text{Exp}_{x_j, x_{j+1}}(\lambda) = \frac{(\lambda + e^{i\alpha_j})}{(\lambda - e^{i\alpha_j})}$$

$$\text{Exp}_{x,y}(\lambda) = \prod_{j=1}^{n-1} \text{Exp}_{x_j, x_{j+1}}(\lambda).$$



THÉORÈME (KENYON)

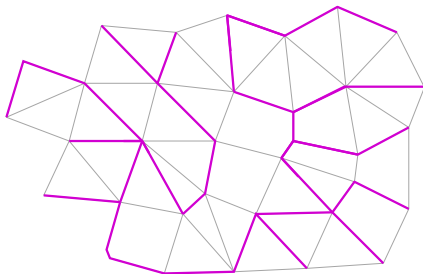
La fonction de Green G admet l'expression explicite suivante :

$$\forall x, y \in V, \quad G(x, y) = -\frac{1}{8\pi^2 i} \oint_{\gamma} \text{Exp}_{x,y}(\lambda) \log(\lambda) d\lambda,$$

où γ est un contour dans \mathbb{C} , contenant les pôles de $\text{Exp}_{x,y}$.

LIEN AVEC LA MÉCANIQUE STATISTIQUE : ARBRES COUVRANTS

- ▶ On suppose G fini.
- ▶ Un **arbre couvrant** de G : sous-ensemble d'arêtes touchant tous les sommets du graphe, connexe et ne contenant pas de cycle.



$\Rightarrow \mathcal{T}(G) =$ ensemble des arbres couvrants de G .

- ▶ **Probabilité de Boltzmann des arbres** :

$$\forall T \in \mathcal{T}(G), \quad \mathbb{P}_{\text{arbre}}(T) = \frac{\prod_{e \in T} \rho(\theta_e)}{Z_{\text{arbre}}(G, \rho)}.$$

LIEN AVEC LA MÉCANIQUE STATISTIQUE : ARBRES COUVRANTS

THÉORÈME (KIRCHHOFF)

$$Z_{\text{arbre}}(\mathbf{G}, \rho) = \det \Delta^{(r)},$$

où $\Delta^{(r)}$ est la matrice Δ dont on a enlevé la ligne et la colonne correspondant à un sommet r .

THÉORÈME (BURTON - PEMANTLE)

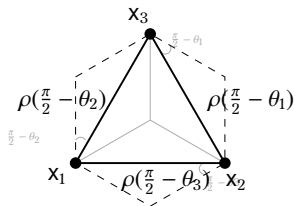
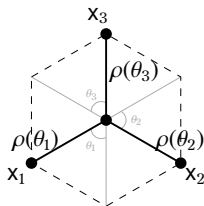
Pour tout sous-ensemble d'arêtes $\{\mathbf{e}_1, \dots, \mathbf{e}_k\}$ de \mathbf{G} :

$$\mathbb{P}_{\text{arbre}}(\mathbf{e}_1, \dots, \mathbf{e}_k) = \det[(H(\mathbf{e}_i, \mathbf{e}_j))_{1 \leq i, j \leq k}],$$

où H est la matrice d'impédance de transfert. Les coefficients sont des différences de fonctions de Green.

► Résultats de Kenyon donne formule locale pour $\mathbb{P}_{\text{arbre}}$ et pour l'énergie libre quand le graphe est infini.

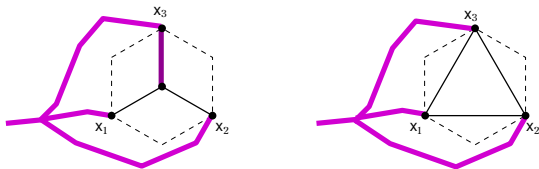
Z-INVARIANCE POUR LES ARBRES COUVRANTS



Décomposer $Z_{\text{arbre}}(\mathbf{G}, \rho)$ sur les configurations possibles en x_1, x_2, x_3 :

- ▶ x_1, x_2, x_3 sont connectés à r .
- ▶ x_i, x_j sont connectés à r , x_k ne l'est pas.
- ▶ x_i est connecté à r , x_j, x_k ne le sont pas.
- ▶ Aucun des sommets n'est connecté à r .

Z-INVARIANCE POUR LES ARBRES COUVRANTS



Exemple : x_1, x_2, x_3 sont connectés à r

	C_Y	C_Δ
$\{x_1, x_2, x_3\}$	$\sum_{\ell=1}^3 \rho(\theta_\ell)$	1
$\{x_i, x_j\}$	$\rho(\theta_k) (\sum_{\ell \neq k} \rho(\theta_\ell))$	$\sum_{\ell \neq k} \rho(\frac{\pi}{2} - \theta_\ell)$
$\{x_i\}$	$\prod_{\ell=1}^3 \rho(\theta_\ell)$	$\sum_{\ell=1}^3 \prod_{\ell' \neq \ell} \rho(\frac{\pi}{2} - \theta_{\ell'})$
$\{\emptyset\}$	0	0

LEMME

Le modèle des arbres couvrants muni des conductances $\rho = (\tan(\theta_e))_{e \in E}$ est Z -invariant.

EN DEHORS DU POINT CRITIQUE ? LAPLACIEN MASSIQUE

- ▶ Soit $k \in [0, 1)$ (le **module elliptique**), $k' = \sqrt{1 - k^2}$, $\bar{\theta}_e = \frac{2K}{\pi} \theta_e$.
- ▶ On définit les conductances et les masses sur G :

$$\forall e \in E, \rho(\theta_e) = \text{sc}(\bar{\theta}_e | k)$$

$$\forall x \in V, m^2(x) = \sum_{j=1}^n A(\bar{\theta}_j | k) - \frac{2}{k'} (K - E) - \sum_{j=1}^n \rho(\bar{\theta}_j | k).$$

- ▶ $E = \int_0^{\frac{\pi}{2}} \sqrt{1 - k^2 \sin^2 \tau} d\tau$: **intégrale elliptique comp. de 2nde espèce.**
- ▶ $A(u|k) = -\frac{i}{k'} E(iu|k')$.
- ▶ $E(u|k) = \int_0^u \text{dn}^2(v|k) dv$: **Fonction epsilon de Jacobi.**

FAMILLE DE LAPLACIENS MASSIQUES

- ▶ Soit $k \in [0, 1)$.
Soit G un graphe isoradial infini, muni des poids ρ, m^2 .
- ▶ Soit $\Delta^{m(k)}$ le **Laplacien massique** sur G représenté par la matrice :

$$\forall x, y \in V, \quad \Delta^{m(k)}(x, y) = \begin{cases} \rho(\theta_{xy}) & \text{si } x \sim y \\ -m^2(x) - \sum_{y \sim x} \rho(\theta_{xy}) & \text{si } x = y \\ 0 & \text{sinon.} \end{cases}$$

- ▶ Le Laplacien massique $\Delta^{m(k)}$ est un opérateur :

$$\forall f \in \mathbb{C}^V, \quad (\Delta^{m(k)}f)(x) = \sum_{y \sim x} \rho(\theta_{xy})(f(y) - f(x)) + m^2(x)f(x).$$

- ▶ La **fonction de Green massique** $G^{m(k)}$ est l'inverse du Laplacien massique : $\Delta^{m(k)}G^{m(k)} = \text{Id}$.

FUNCTION EXPONENTIELLE DISCRÈTE MASSIQUE

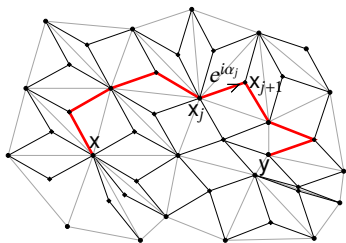
► **Function exponentielle discrète massique.** Soit $\mathbb{T}(k) = \mathbb{C}/(4K\mathbb{Z} + i4K'\mathbb{Z})$.

$\text{Exp}(\cdot | k) : V^\diamond \times V^\diamond \times \mathbb{T}(k) \rightarrow \mathbb{C}$. Soit $x, y \in V^\diamond$.

Chemin dans E^\diamond : $x = x_1, \dots, x_n = y$,

$$\text{Exp}_{x_j, x_{j+1}}(u|k) = -i \sqrt{k'} \text{sc}(u_{\bar{\alpha}_j}), \quad u_{\bar{\alpha}_j} = \frac{u - \bar{\alpha}_j}{2}.$$

$$\text{Exp}_{x,y}(u|k) = \prod_{j=1}^{n-1} \text{Exp}_{x_j, x_{j+1}}(u|k).$$



LEMME

La fonction exponentielle discrète massique est bien définie, i.e., indépendante du choix de chemin de x à y .

PROPOSITION

Pour tout $u \in \mathbb{T}(k)$, pour tout $y \in V$, la fonction $\text{Exp}_{(\cdot, y)}(u|k) \in \mathbb{C}^V$ est harmonique massique : $\Delta^m \text{Exp}_{(\cdot, y)}(u|k) = 0$.

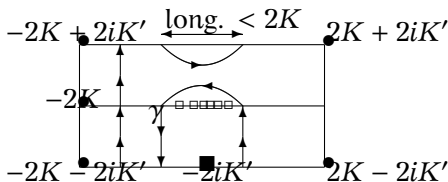
EXPRESSION LOCALE POUR LA FONCTION DE GREEN MASSIQUE

THÉORÈME

Pour tous sommets x, y du graphe G ,

$$G^{m(k)}(x, y) = -\frac{k'}{4i\pi} \oint_{\gamma_{x,y}} H(u|k) \text{Exp}_{x,y}(u|k) du,$$

où $\gamma_{x,y}$ est le contour ci-dessous, $H(u|k) = \frac{u}{4K} + \frac{K'}{\pi} Z(u/2|k)$ et Z est la fonction zeta de Jacobi.



Tore $\mathbb{T}(k)$, contour d'intégration $\gamma_{x,y}$. Les carrés blancs sont les pôles de $\text{Exp}_{x,y}(\cdot|k)$, le carré noir est le pôle de H .

IDÉE DE LA PREUVE, CONSÉQUENCES

Idée de la preuve (Kenyon)

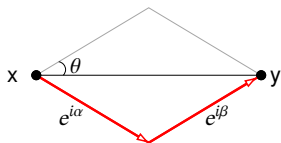
- ▶ Montrer que $\forall x, y \in V, \Delta^{m(k)} G^{m(k)}(x, y) = \delta(x, y)$.
- ▶ Si $x \neq y$, déformer les contours en un contour commun et utiliser le fait que les fonctions exponentielles sont dans le noyau de Δ^m .
- ▶ Si $x = y$, Calcul explicite de résidus. Utiliser le saut de la fonction H sur le tore $\mathbb{T}(k)$.

Conséquences

- ▶ Localité.
- ▶ Formule asymptotique pour $G^{m(k)}(x, y)$, lorsque $|x - y| \rightarrow \infty$.
- ▶ Calculs explicites.

EXEMPLE DE CALCUL

Soit x, y voisins dans \mathbb{G} , alors :

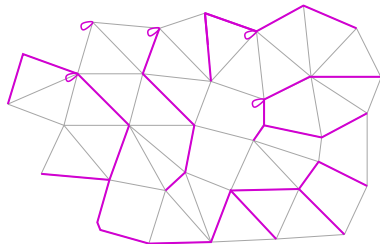


$$\text{Exp}_{x,y}(u) = -(k')^2 \text{sc}(u_{\bar{\alpha}}) \text{sc}(u_{\bar{\beta}}).$$

$$\begin{aligned} G^{m(k)}(x, y) &= \frac{(k')^2}{4i\pi} \oint_{\gamma} H(u) \text{sc}(u_{\bar{\alpha}}) \text{sc}(u_{\bar{\beta}}) du \\ &= \frac{(k')^2}{4i\pi} \oint_{\gamma} H(u) \text{sc}\left(\frac{u}{2}\right) \text{sc}\left(\frac{u - 2\bar{\theta}}{2}\right) du, \quad (\text{changement de variables}) \\ &= \frac{H(2K + 2\bar{\theta}) - H(2K)}{\text{sc}(\bar{\theta})} - \frac{K'k'}{\pi \text{dn}(\bar{\theta})}, \quad (\text{résidus en } 2K, 2K + 2\bar{\theta}, 2iK') \\ &= \frac{H(2\bar{\theta})}{\text{sc}(\bar{\theta})} - \frac{K' \text{dn}(\bar{\theta})}{\pi}, \quad (\text{formules d'addition pour } H). \end{aligned}$$

FORMULE LOCALE POUR LES FORÊTS COUVRANTES

- ▶ Une **forêt couvrante** de G : sous-ensemble d'arêtes touchant tous les sommets du graphe, tel que chaque composante connexe est un arbre enraciné.



$\Rightarrow \mathcal{F}(G) =$ ensemble des forêts couvrantes de G .

- ▶ **Probabilité de Boltzmann des forêts** :

$$\forall F \in \mathcal{F}(G), \quad \mathbb{P}_{\text{foret}}(F) = \frac{\prod_{T \subset F, T \text{ enraciné en } x} (\prod_{e \in T} \rho(\theta_e)) m^2(x)}{Z_{\text{foret}}(G, \rho, m^2)}.$$

- ▶ Expression explicite pour une mesure sur les forêts couvrantes d'un graphe isoradial infini, périodique ou non, obtenue comme limite faible des mesures sur une exhaustion.

Z-INVARIANCE POUR LES FORÊTS COUVRANTES

	C_Y	C_Δ
$\{x_1, x_2, x_3\}$	$m^2(x_0) + \sum_{\ell=1}^3 \rho(\theta_\ell)$	1
$\{x_i, x_j\}$	$\rho(\theta_k) [\sum_{\ell \neq k} \rho(\theta_\ell)] + m^2(x_0) \rho(\theta_k) +$ $m^2(x_k) [\sum_{\ell=1}^3 \rho(\theta_\ell) + m^2(x_0)]$	$\sum_{\ell \neq k} \rho(K - \theta_\ell) + m'^2(x_k)$
$\{x_i\}$	$\prod_{\ell=1}^3 \rho(\theta_\ell) + m^2(x_0) \prod_{\ell \neq i} \rho(\theta_\ell) +$ $\sum_{\ell \neq i} m^2(x_\ell) \rho(\theta_{\overline{\{i, \ell\}}}) [\sum_{\ell' \in \{i, \ell\}} \rho(\theta_{\ell'})] +$ $m^2(x_0) [m^2(x_k) \rho(\theta_j) + m^2(x_j) \rho(\theta_k)] +$ $[\prod_{\ell \neq i} m^2(x_\ell)] [\sum_{\ell=1}^3 \rho(\theta_\ell) + m^2(x_0)]$	$\sum_{\ell=1}^3 \prod_{\ell' \neq \ell} \rho(K - \theta_{\ell'}) +$ $\sum_{\ell \neq i} m'^2(x_\ell) [\sum_{\ell' \in \{i, \ell\}} \rho(K - \theta_{\ell'})] + \prod_{\ell \neq i} m'^2(x_\ell)$
$\{\emptyset\}$	$[\sum_{i=0}^3 m^2(x_i)] [\prod_{i=1}^3 \rho(\theta_i)] + m^2(x_0) \sum_{i=1}^3 m^2(x_i) \prod_{\ell \neq i} \rho(\theta_\ell) +$ $\sum_{i=1}^3 [\prod_{\ell \neq i} m^2(x_\ell)] \rho(\theta_i) [\sum_{\ell \neq i} \rho(\theta_\ell)] +$ $m^2(x_0) \sum_{i=1}^3 [\prod_{\ell \neq i} m^2(x_\ell)] \rho(\theta_i) +$ $[\prod_{i=1}^3 m^2(x_k)] [\sum_{i=1}^3 \rho(\theta_i) + m^2(x_0)]$	$[\sum_{i=1}^3 m'^2(x_i)] [\prod_{i=1}^3 \rho(K - \theta_\ell)] +$ $\sum_{i=1}^3 [\prod_{\ell \neq i} m'^2(x_\ell)] [\sum_{i \neq \ell} \rho(K - \theta_\ell)] +$ $\prod_{i=1}^3 m'^2(x_k)$

Z-INVARIANCE POUR LES FORÊTS COUVRANTES

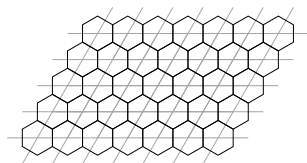
THÉORÈME

Pour tout $k \in [0, 1)$, le modèle des forêts couvrantes muni des poids ρ, m^2 , est Z -invariant.

- ▶ Lorsque $k = 0$, $\rho(\theta_e) = \tan(\theta_e)$, $m^2(x) = 0$: cas critique.

SI LE GRAPHE G EST \mathbb{Z}^2 -PÉRIODIQUE

- ▶ Graphe isoradial, infini, \mathbb{Z}^2 -périodique, G .
- ▶ Exhaustion torique du graphe G : $G_n = G/n\mathbb{Z}^2$.



L'énergie libre est :

$$f(k) = - \lim_{n \rightarrow \infty} \frac{1}{n^2} \log Z_{\text{foret}}(G_n, \rho, m^2).$$

THÉORÈME

L'énergie libre est égale à :

$$f(k) = |V_1|S(K) + \sum_{e \in E_1} \left(\int_0^{\bar{\theta}_e} -4H'(2\omega) \log \text{sc}(\omega) d\omega + 2H(2\bar{\theta}_e) \log \text{sc}(\bar{\theta}_e) \right).$$

Lorsque $k = 0$, on retrouve le résultat de Kenyon.

TRANSITION DE PHASE

PROPOSITION

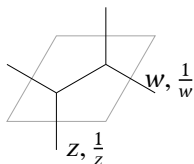
Lorsque $k \rightarrow 0$,

$$f(k) = f(0) - k^2 \log(k) \left[\frac{|V_1|}{2} + \frac{1}{\pi} \sum_{e \in \bar{E}_1} \bar{\theta}_e \right] + O(k^2).$$

où $f(0)$ est l'énergie libre des arbres couvrants.

SI LE GRAPHE G EST \mathbb{Z}^2 -PÉRIODIQUE : COURBE SPECTRALE.

- ▶ Domaine fondamental : G_1 .



- ▶ $\Delta^m(z, w)$: matrice du Laplacien massique sur G_1 , avec poids $z, \frac{1}{z}, w, \frac{1}{w}$.
- ▶ Polynôme caractéristique : $P_{\Delta^m}(z, w) = \det \Delta^m(z, w)$.
- ▶ Courbe spectrale du Laplacien massique : $\{z, w \in \mathbb{C}^2 : P_{\Delta^m}(z, w) = 0\}$.

THÉORÈME

Pour tout $k \in (0, 1)$, la courbe spectrale du Laplacien massique est une courbe de Harnack de genre 1.